

# Regresión Armónica Dinámica (DHR)

Marcos Bujosa

Universidad Complutense de Madrid

14/02/2023

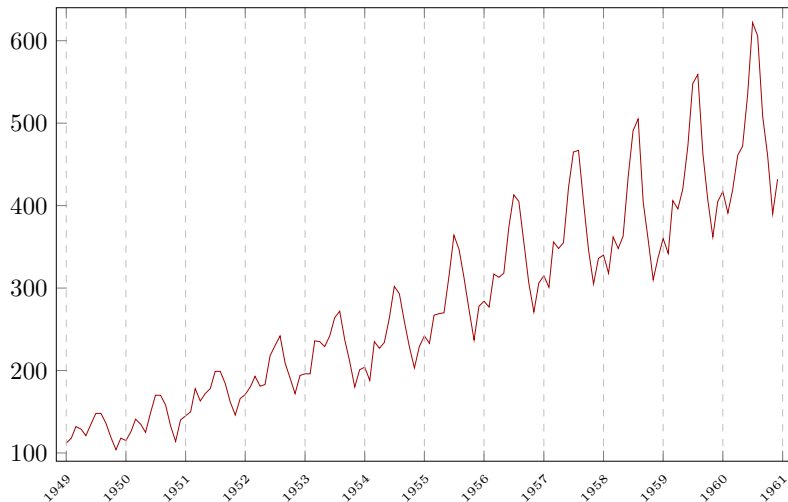
– Marcos Bujosa. Copyright © 2004–2023

Algunos derechos reservados. Esta obra está bajo una licencia de Creative Commons Reconocimiento-CompartirIgual 4.0

Internacional. Para ver una copia de esta licencia, visite

<http://creativecommons.org/licenses/by-sa/4.0/> o envíe una carta a Creative Commons, 559 Nathan Abbott Way, Stanford, California 94305, USA.

# 1 Serie de Líneas Aéreas



## 2 Modelo de componentes no observables vs ARIMA

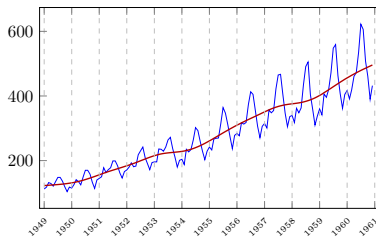
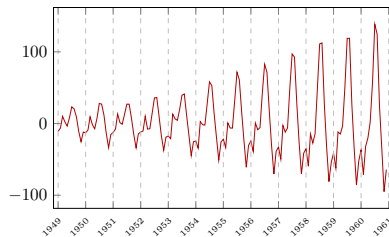
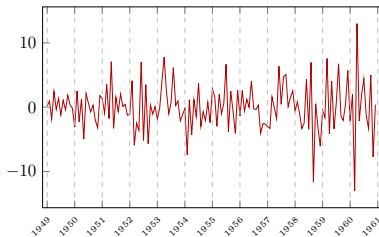
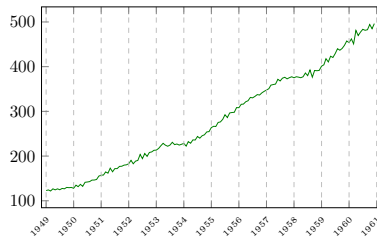
### Enfoque ARIMA

$$\phi(L)y_t = \theta(L)\xi_t, \quad \xi_t \sim \text{r.b. } (0, \sigma^2).$$

### Enfoque de componentes no observables

$$y_t = T_t + S_t + e_t$$

### 3 Componentes DHR estimados

Tendencia ( $T$ )Componente estacional ( $S$ )Componente irregular ( $I$ )Serie desestacionalizada ( $T + I$ )

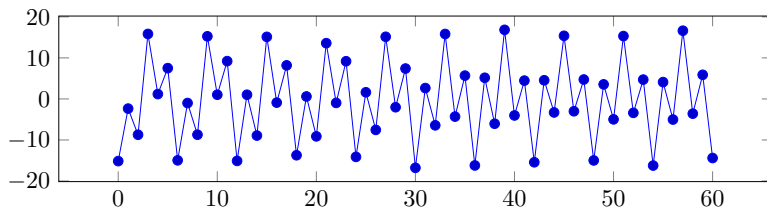
## 4 Pasos a seguir

1. Identificar el tipo de modelo para cada componente
2. Estimar los hiper-parámetros de los modelos identificados
3. “Filtrar” los componentes  
(estimar el valor esperado de cada componente en cada instante)

*Regresión Armónica Dinámica Lineal* (LDHR) se ocupa de los dos primeros pasos.

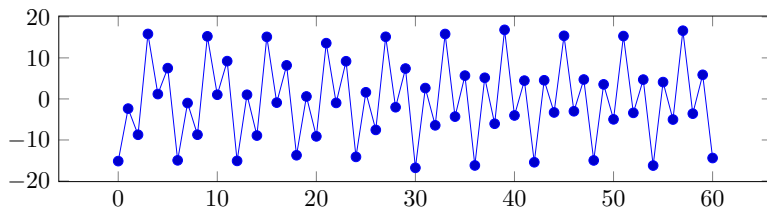
## 5 Serie estacional simulada

$$y_t = (-0.99)y_{t-3} + \xi_t$$



## 5 Serie estacional simulada

$$y_t = (-0.99)y_{t-3} + \xi_t$$



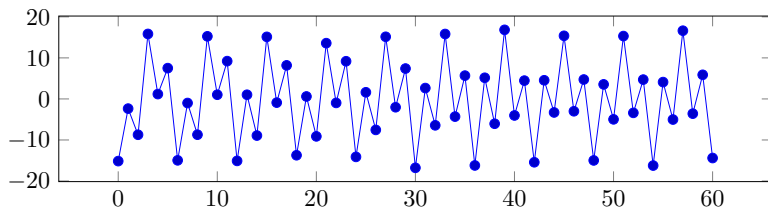
Autocovarianza  $k$ -ésima

$$\gamma_k = E\left((y_t - \mu) \cdot (y_{t-k} - \mu)\right) \quad \text{con } E(y_t) = \mu \text{ para todo } t$$



## 5 Serie estacional simulada

$$y_t = (-0.99)y_{t-3} + \xi_t$$



Autocovarianza  $k$ -ésima

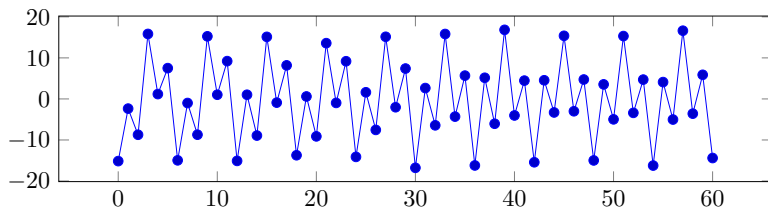
$$\gamma_k = E\left((y_t - \mu) \cdot (y_{t-k} - \mu)\right) \quad \text{con } E(y_t) = \mu \text{ para todo } t$$

Función Generadora de Covarianzas:

$$\Gamma(z) = \{\gamma_0, \gamma_1, \gamma_2, \dots\}$$

## 5 Serie estacional simulada

$$y_t = (-0.99)y_{t-3} + \xi_t$$



Autocovarianza  $k$ -ésima

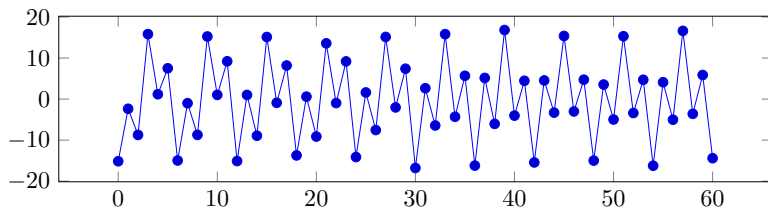
$$\gamma_k = E\left((y_t - \mu) \cdot (y_{t-k} - \mu)\right) \quad \text{con } E(y_t) = \mu \text{ para todo } t$$

Función Generadora de Covarianzas:

$$\Gamma(z) = \{\gamma_0, \gamma_1, \gamma_2, \dots\} = \sum_{k=0}^{\infty} \gamma_k z^k.$$

## 6 Estimación de las autocovarianzas para la serie simulada

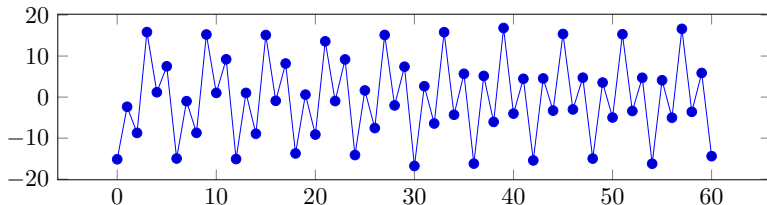
$$y_t = (-0.99)y_{t-3} + \xi_t$$



$$\widehat{\Gamma}(z) = \{\widehat{\gamma}_0, \quad \widehat{\gamma}_1, \quad \widehat{\gamma}_2, \quad \widehat{\gamma}_3, \quad \widehat{\gamma}_4, \quad \widehat{\gamma}_5, \quad \widehat{\gamma}_6 \dots\}$$

## 6 Estimación de las autocovarianzas para la serie simulada

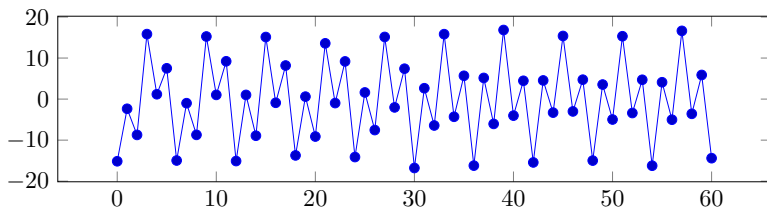
$$y_t = (-0.99)y_{t-3} + \xi_t$$



$$\begin{aligned}\widehat{\Gamma(z)} &= \{\widehat{\gamma}_0, \quad \widehat{\gamma}_1, \quad \widehat{\gamma}_2, \quad \widehat{\gamma}_3, \quad \widehat{\gamma}_4, \quad \widehat{\gamma}_5, \quad \widehat{\gamma}_6 \dots\} \\ &= \{45.3, \quad -3.6, \quad 3.6, \quad -44.9, \quad 3.8, \quad -3.5, \quad 44.4, \quad -3.9, \quad 3.4 \dots\}\end{aligned}$$

## 6 Estimación de las autocovarianzas para la serie simulada

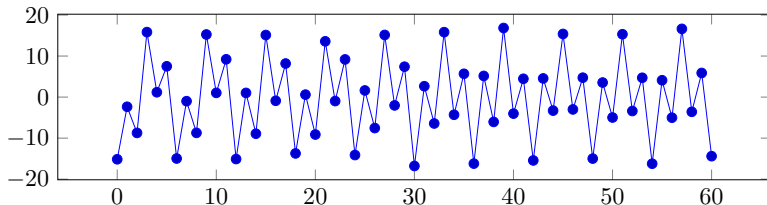
$$y_t = (-0.99)y_{t-3} + \xi_t$$



$$\begin{aligned}\widehat{\Gamma}(z) &= \{\widehat{\gamma}_0, \quad \widehat{\gamma}_1, \quad \widehat{\gamma}_2, \quad \widehat{\gamma}_3, \quad \widehat{\gamma}_4, \quad \widehat{\gamma}_5, \quad \widehat{\gamma}_6 \dots\} \\ &= \{45.3, \quad -3.6, \quad 3.6, \quad -44.9, \quad 3.8, \quad -3.5, \quad 44.4, \quad -3.9, \quad 3.4 \dots\} \\ &= 45.3 \cdot z^0 - 3.6 \cdot z^1 + 3.6 \cdot z^2 - 44.9 \cdot z^3 + 3.8 \cdot z^4 \dots\end{aligned}$$

## 6 Estimación de las autocovarianzas para la serie simulada

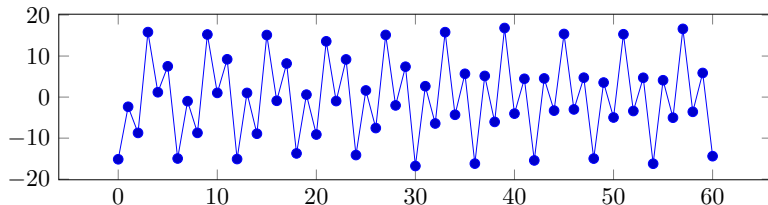
$$y_t = (-0.99)y_{t-3} + \xi_t$$



$$\begin{aligned}
 \widehat{\Gamma}(z) &= \{\widehat{\gamma}_0, \quad \widehat{\gamma}_1, \quad \widehat{\gamma}_2, \quad \widehat{\gamma}_3, \quad \widehat{\gamma}_4, \quad \widehat{\gamma}_5, \quad \widehat{\gamma}_6 \dots\} \\
 &= \{45.3, \quad -3.6, \quad 3.6, \quad -44.9, \quad 3.8, \quad -3.5, \quad 44.4, \quad -3.9, \quad 3.4 \dots\} \\
 &= 45.3 \cdot z^0 - 3.6 \cdot z^1 + 3.6 \cdot z^2 - 44.9 \cdot z^3 + 3.8 \cdot z^4 \dots \\
 &= \sum_{k=0}^{\infty} \widehat{\gamma}_k z^k
 \end{aligned}$$

## 6 Estimación de las autocovarianzas para la serie simulada

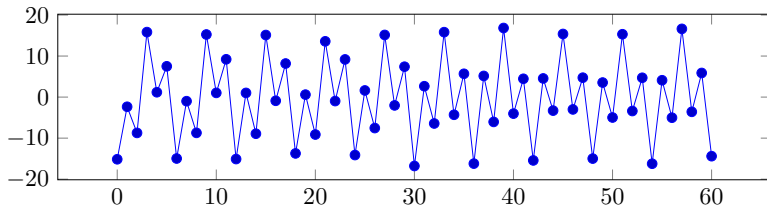
$$y_t = (-0.99)y_{t-3} + \xi_t$$



$$\begin{aligned}
 \widehat{\Gamma}(z) &= \{\widehat{\gamma}_0, \widehat{\gamma}_1, \widehat{\gamma}_2, \widehat{\gamma}_3, \widehat{\gamma}_4, \widehat{\gamma}_5, \widehat{\gamma}_6 \dots\} \\
 &= \{45.3, -3.6, 3.6, -44.9, 3.8, -3.5, 44.4, -3.9, 3.4 \dots\} \\
 &= 45.3 \cdot z^0 - 3.6 \cdot z^1 + 3.6 \cdot z^2 - 44.9 \cdot z^3 + 3.8 \cdot z^4 \dots \\
 &= \sum_{k=0}^{\infty} \widehat{\gamma}_k z^k
 \end{aligned}$$

## 6 Estimación de las autocovarianzas para la serie simulada

$$y_t = (-0.99)y_{t-3} + \xi_t$$

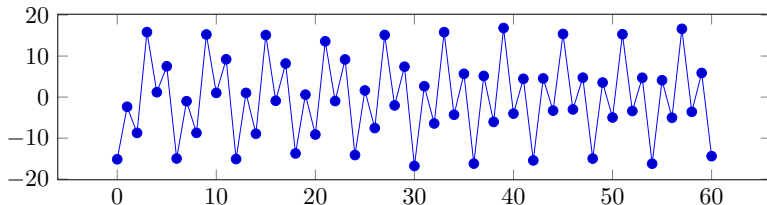


$$\begin{aligned}
 \widehat{\Gamma}(z) &= \{\widehat{\gamma}_0, \quad \widehat{\gamma}_1, \quad \widehat{\gamma}_2, \quad \widehat{\gamma}_3, \quad \widehat{\gamma}_4, \quad \widehat{\gamma}_5, \quad \widehat{\gamma}_6 \dots\} \\
 &= \{45.3, \quad -3.6, \quad 3.6, \quad -44.9, \quad 3.8, \quad -3.5, \quad 44.4, \quad -3.9, \quad 3.4 \dots\} \\
 &= 45.3 \cdot z^0 \quad - 3.6 \cdot z^1 \quad + 3.6 \cdot z^2 \quad - 44.9 \cdot z^3 \quad + 3.8 \cdot z^4 \dots \\
 &= \sum_{k=0}^{\infty} \widehat{\gamma}_k z^k
 \end{aligned}$$



## 6 Estimación de las autocovarianzas para la serie simulada

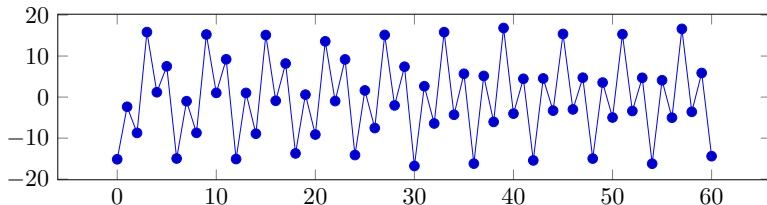
$$y_t = (-0.99)y_{t-3} + \xi_t$$



$$\begin{aligned}
 \widehat{\Gamma}(z) &= \{\widehat{\gamma}_0, \quad \widehat{\gamma}_1, \quad \widehat{\gamma}_2, \quad \widehat{\gamma}_3, \quad \widehat{\gamma}_4, \quad \widehat{\gamma}_5, \quad \widehat{\gamma}_6 \dots\} \\
 &= \{45.3, \quad -3.6, \quad 3.6, \quad -44.9, \quad 3.8, \quad -3.5, \quad 44.4, \quad -3.9, \quad 3.4 \dots\} \\
 &= 45.3 \cdot z^0 - 3.6 \cdot z^1 + 3.6 \cdot z^2 - 44.9 \cdot z^3 + 3.8 \cdot z^4 \dots \\
 &= \sum_{k=0}^{\infty} \widehat{\gamma}_k z^k
 \end{aligned}$$

## 6 Estimación de las autocovarianzas para la serie simulada

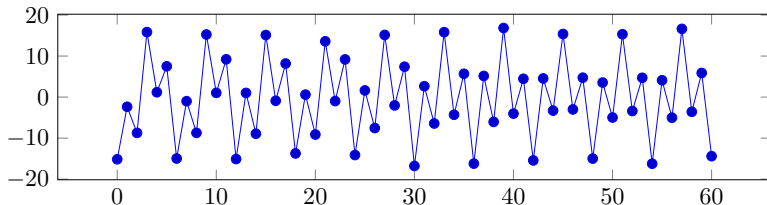
$$y_t = (-0.99)y_{t-3} + \xi_t$$



$$\begin{aligned}
 \widehat{\Gamma}(z) &= \{\widehat{\gamma}_0, \quad \widehat{\gamma}_1, \quad \widehat{\gamma}_2, \quad \widehat{\gamma}_3, \quad \widehat{\gamma}_4, \quad \widehat{\gamma}_5, \quad \widehat{\gamma}_6 \dots\} \\
 &= \{45.3, \quad -3.6, \quad 3.6, \quad -44.9, \quad 3.8, \quad -3.5, \quad 44.4, \quad -3.9, \quad 3.4 \dots\} \\
 &= 45.3 \cdot z^0 - 3.6 \cdot z^1 + 3.6 \cdot z^2 - 44.9 \cdot z^3 + 3.8 \cdot z^4 \dots \\
 &= \sum_{k=0}^{\infty} \widehat{\gamma}_k z^k
 \end{aligned}$$

## 6 Estimación de las autocovarianzas para la serie simulada

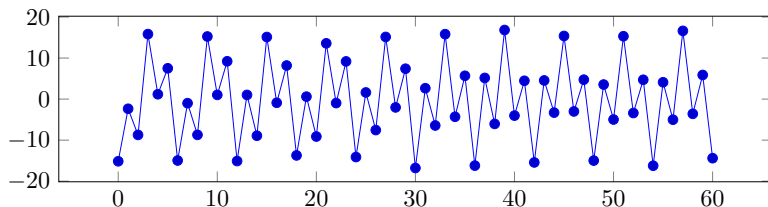
$$y_t = (-0.99)y_{t-3} + \xi_t$$



$$\begin{aligned}
 \widehat{\Gamma}(z) &= \{\widehat{\gamma}_0, \quad \widehat{\gamma}_1, \quad \widehat{\gamma}_2, \quad \widehat{\gamma}_3, \quad \widehat{\gamma}_4, \quad \widehat{\gamma}_5, \quad \widehat{\gamma}_6 \dots\} \\
 &= \{45.3, -3.6, 3.6, -44.9, 3.8, -3.5, 44.4, -3.9, 3.4 \dots\} \\
 &= 45.3 \cdot z^0 - 3.6 \cdot z^1 + 3.6 \cdot z^2 - 44.9 \cdot z^3 + 3.8 \cdot z^4 \dots \\
 &= \sum_{k=0}^{\infty} \widehat{\gamma}_k z^k
 \end{aligned}$$

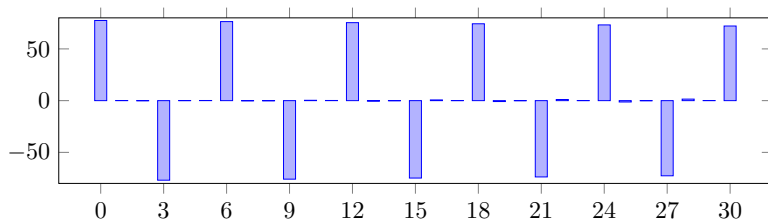
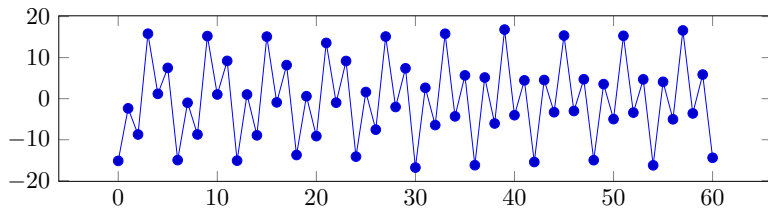
## 6 Estimación de las autocovarianzas para la serie simulada

$$y_t = (-0.99)y_{t-3} + \xi_t$$



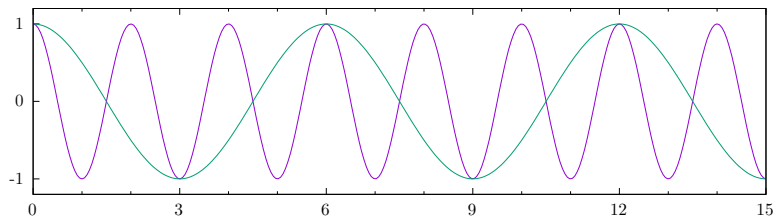
$$\begin{aligned}
 \widehat{\Gamma}(z) &= \{\hat{\gamma}_0, \hat{\gamma}_1, \hat{\gamma}_2, \hat{\gamma}_3, \hat{\gamma}_4, \hat{\gamma}_5, \hat{\gamma}_6 \dots\} \\
 &= \{45.3, -3.6, 3.6, -44.9, 3.8, -3.5, 44.4, -3.9, 3.4 \dots\} \\
 &= 45.3 \cdot z^0 - 3.6 \cdot z^1 + 3.6 \cdot z^2 - 44.9 \cdot z^3 + 3.8 \cdot z^4 \dots \\
 &= \sum_{k=0}^{\infty} \hat{\gamma}_k z^k
 \end{aligned}$$

## 7 Serie estacional simulada

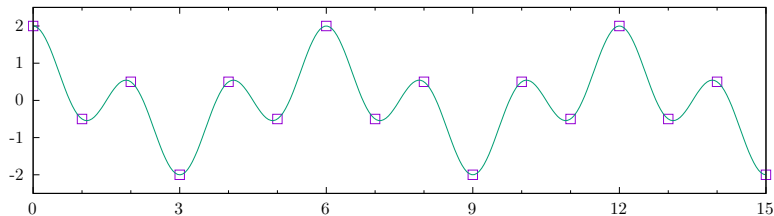


## 8 Ondas deterministas

Ondas de periodos 2 y 6



Suma de las dos ondas



## 9 Función Generadora de Covarianzas y Espectro

$$\Gamma(z) = \sum_{k=0}^{\infty} \gamma_k z^k.$$

## 9 Función Generadora de Covarianzas y Espectro

$$\Gamma(z) = \sum_{k=0}^{\infty} \gamma_k z^k.$$

**Espectro** es Transformada de Fourier de  $\Gamma(z)$ , es decir:

*sustituir  $z^k$  por  $\cos(k\omega)$ , e interpretar  $\sum$  como suma*

$$f(\omega) = \sum_{k=0}^{\infty} \gamma_k \cos(k\omega); \quad -\pi \leq \omega \leq \pi. \quad (\text{suma de funciones coseno})$$



## 9 Función Generadora de Covarianzas y Espectro

$$\Gamma(z) = \sum_{k=0}^{\infty} \gamma_k z^k.$$

**Espectro** es Transformada de Fourier de  $\Gamma(z)$ , es decir:  
*sustituir  $z^k$  por  $\cos(k\omega)$ , e interpretar  $\sum$  como suma*

$$f(\omega) = \sum_{k=0}^{\infty} \gamma_k \cos(k\omega); \quad -\pi \leq \omega \leq \pi. \quad (\text{suma de funciones coseno})$$

De la inversa de la transformada de Fourier,  $\gamma_k = \frac{1}{2\pi} \int_{-\pi}^{\pi} e^{i\omega k} f(\omega) d\omega$ , tenemos que

$$\sigma^2 \equiv \gamma_0 = \frac{1}{2\pi} \int_{-\pi}^{\pi} f(\omega) d\omega;$$

**10** Espectro estimado de la serie simulada

$$\widehat{f(\omega)} = \sum \widehat{\gamma_k} \cos(k\omega)$$

**10** Espectro estimado de la serie simulada

$$\widehat{f(\omega)} = \sum_{k=0}^0 \widehat{\gamma_k} \cos(k\omega)$$

$$= 45.3$$

**10** Espectro estimado de la serie simulada

$$\widehat{f(\omega)} = \sum_{k=0}^1 \widehat{\gamma_k} \cos(k\omega)$$

$$= \mathbf{45.3} + 3.6 \cos(1\omega)$$

**10** Espectro estimado de la serie simulada

$$\widehat{f(\omega)} = \sum_{k=0}^2 \widehat{\gamma_k} \cos(k\omega)$$

$$= \mathbf{45.3} + 3.6 \cos(1\omega) - 3.6 \cos(2\omega)$$

**10** Espectro estimado de la serie simulada

$$\widehat{f(\omega)} = \sum_{k=0}^3 \widehat{\gamma_k} \cos(k\omega)$$

$$\begin{aligned} &= \mathbf{45.3} + 3.6 \cos(1\omega) - 3.6 \cos(2\omega) \\ &\quad - \mathbf{44.9} \cos(3\omega) \end{aligned}$$

**10** Espectro estimado de la serie simulada

$$\widehat{f(\omega)} = \sum_{k=0}^4 \widehat{\gamma_k} \cos(k\omega)$$

$$\begin{aligned} &= \mathbf{45.3} + 3.6 \cos(1\omega) - 3.6 \cos(2\omega) \\ &\quad - \mathbf{44.9} \cos(3\omega) - 3.8 \cos(4\omega) \end{aligned}$$

**10** Espectro estimado de la serie simulada

$$\widehat{f(\omega)} = \sum_{k=0}^5 \widehat{\gamma_k} \cos(k\omega)$$

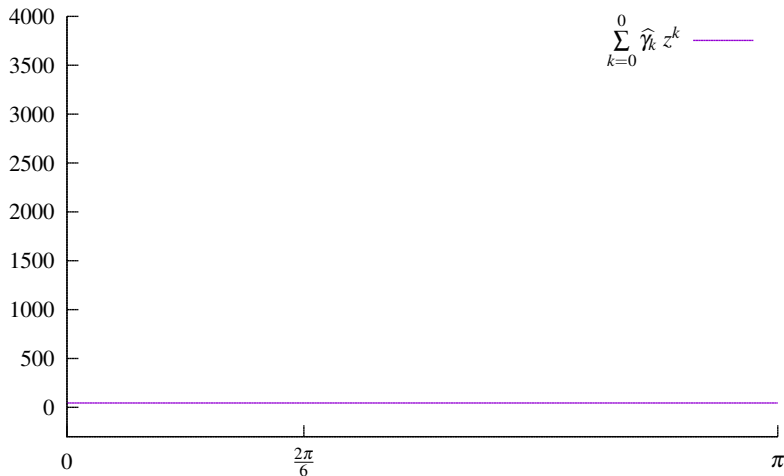
$$\begin{aligned} &= \mathbf{45.3} + 3.6 \cos(1\omega) - 3.6 \cos(2\omega) \\ &\quad - \mathbf{44.9} \cos(3\omega) - 3.8 \cos(4\omega) + 3.5 \cos(5\omega) \end{aligned}$$

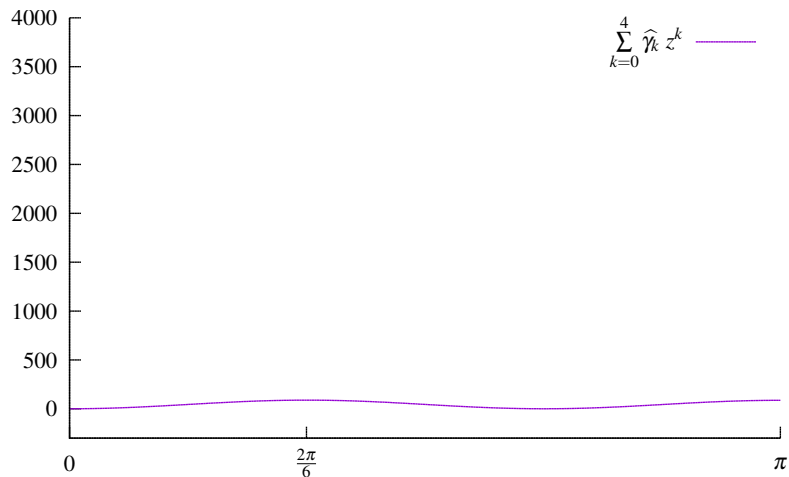


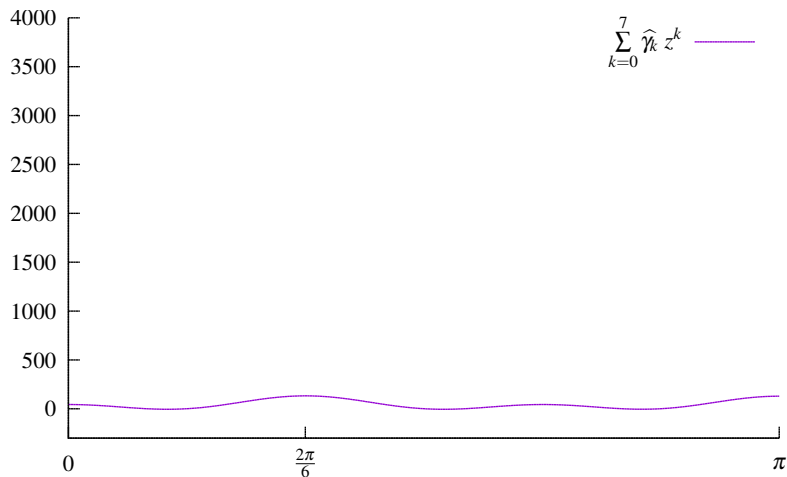
**10** Espectro estimado de la serie simulada

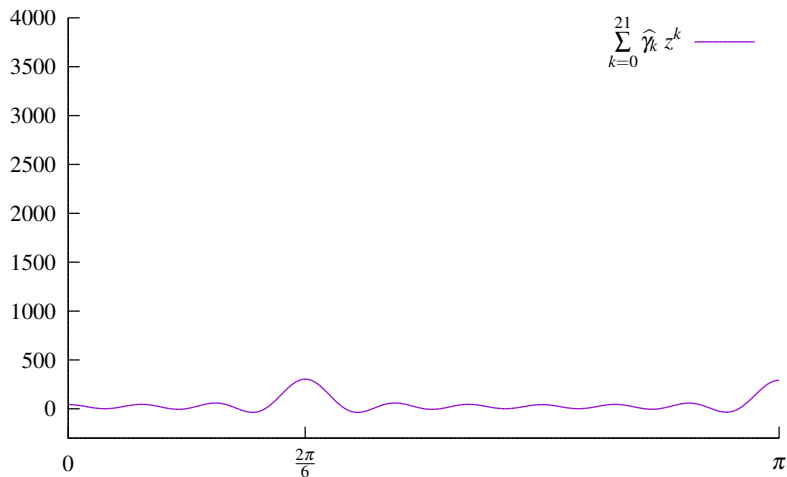
$$\widehat{f(\omega)} = \sum_{k=0}^N \widehat{\gamma_k} \cos(k\omega)$$

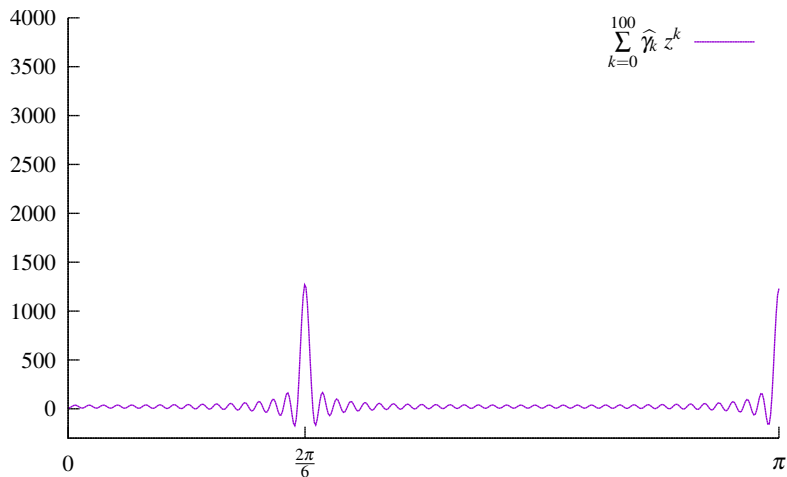
$$\begin{aligned} &= 45.3 + 3.6 \cos(1\omega) - 3.6 \cos(2\omega) \\ &\quad - 44.9 \cos(3\omega) - 3.8 \cos(4\omega) + 3.5 \cos(5\omega) + \dots \end{aligned}$$

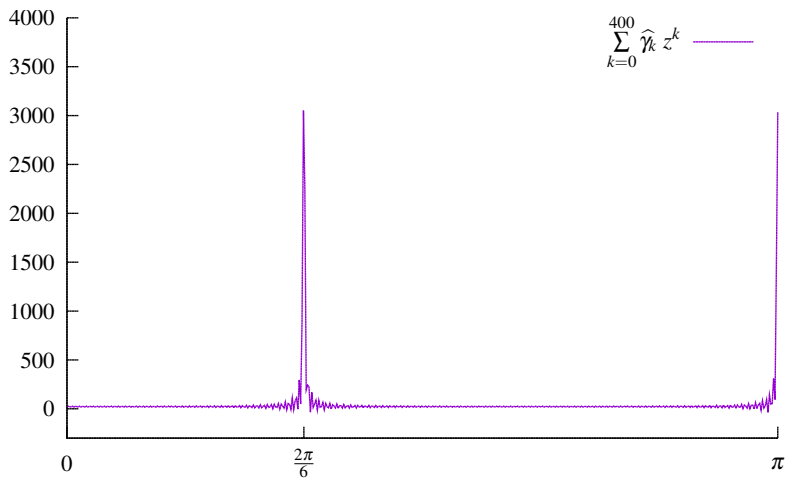
**11** Espectro estimado de la serie simulada

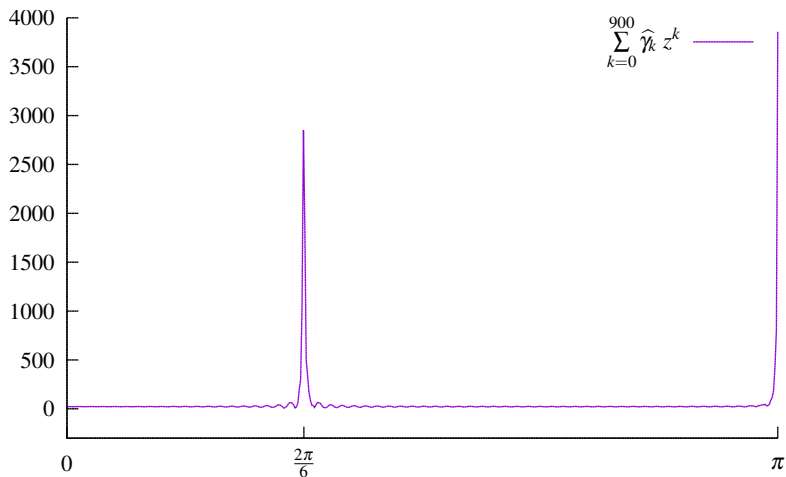
**11** Espectro estimado de la serie simulada

**11** Espectro estimado de la serie simulada

**11** Espectro estimado de la serie simulada

**11** Espectro estimado de la serie simulada

**11** Espectro estimado de la serie simulada

**11** Espectro estimado de la serie simulada



## 12 Espectro de un proceso ARMA

Sea  $y_t$  un proceso estocástico *estacionario* que verifica

$$\phi(L)y_t = \theta(L)\xi_t, \quad \xi_t \sim \text{r.b.}(0, \sigma^2).$$

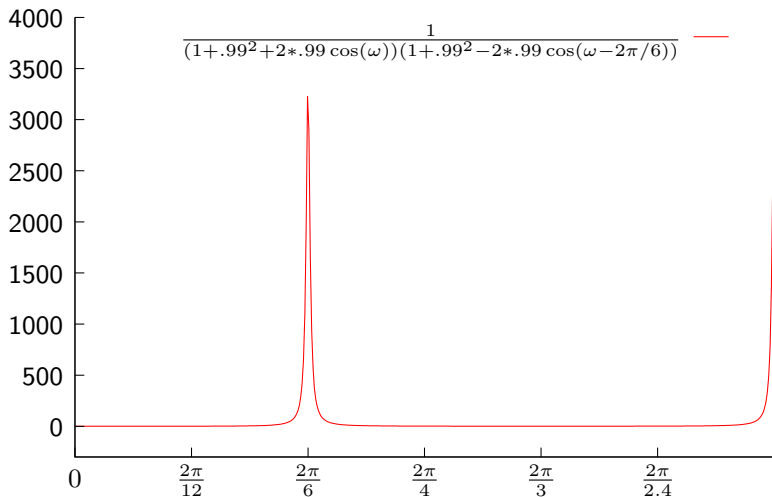
La *función generadora de covarianzas* de  $y_t$  es siguiente sucesión:

$$\Gamma_y(z) = \sigma_\xi^2 \frac{\theta(z) * \theta(z^{-1})}{\phi(z) * \phi(z^{-1})};$$

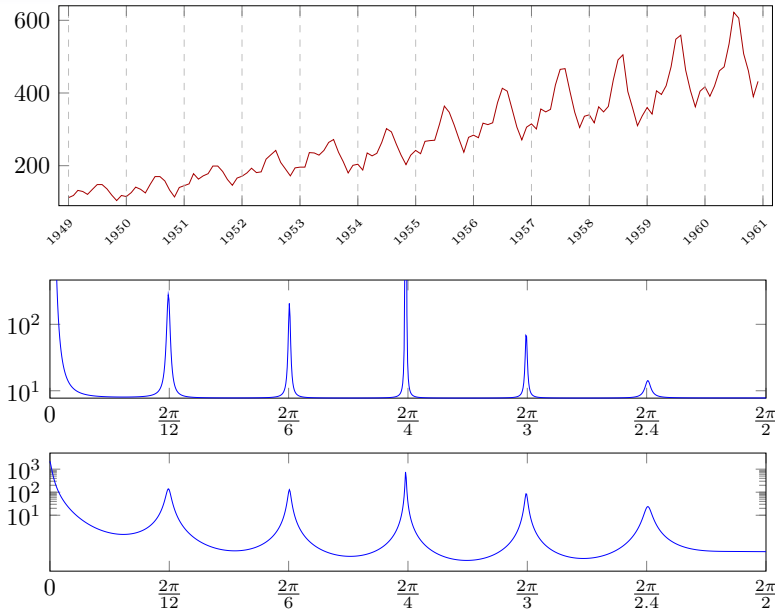
y su *espectro* es (sustituyendo  $z$  por  $e^{-i\omega}$ )

$$f_y(\omega) = \sigma_\xi^2 \frac{\theta(e^{-i\omega})\theta(e^{i\omega})}{\phi(e^{-i\omega})\phi(e^{i\omega})};$$

que tiene una expansión como suma de cosenos, ya que  $e^{-ik\omega} + e^{ik\omega} = 2 \cos(k\omega)$ .

**13** Espectro Teórico del proceso estacional simulado

- Deducir en la pizarra el espectro de un proceso de ruido blanco.
- Comentar la etimología de la expresión “ruido blanco”.
- Explicar que si un proceso no es ruido blanco, se puede inferir su dinámica (extraer información).
- Definir lo que es un filtro (relacionar con un cristal de colores, o con un ecualizador de una cadena musical). Relacionar con los modelos ARMA.

**14** AR(17) espectro de la serie de Líneas Aéreas

**15** Modelo básico

$$y_t = T_t + S_t + e_t; \quad t = 0, 1, 2, \dots, \quad (1)$$

- *Tendencia* (o ciclo-tendencia):  $(T_t)$
- *Componente estacional*:  $(S_t)$
- *Componente irregular*:  $(e_t)$ ;  $\{e_t\} \sim \text{r.b. } N(0, \sigma_e^2)$

**16** Modelo teórico de los sub-componentes DHR

$$s_t^{p_j} = a_{j_t} \cos(\omega_j t) + b_{j_t} \sin(\omega_j t), \quad (2)$$

donde  $\omega_j = \frac{2\pi}{p_j}$  es la frecuencia y  $p_j$  es el periodo.

**16** Modelo teórico de los sub-componentes DHR

$$s_t^{p_j} = a_{j_t} \cos(\omega_j t) + b_{j_t} \sin(\omega_j t), \quad (2)$$

donde  $\omega_j = \frac{2\pi}{p_j}$  es la frecuencia y  $p_j$  es el periodo.

$a_{j_t}$  y  $b_{j_t}$  modulan amplitud oscilaciones

(procesos AR(1) o AR(2) no estacionarios con parámetros conocidos, excepto varianzas).

**17** Modelo de la Tendencia

$$T_t = a_{0t} \cos(0 \cdot t) + b_{0t} \sin(0 \cdot t) = a_{0t}; \quad (3)$$



**17** Modelo de la Tendencia

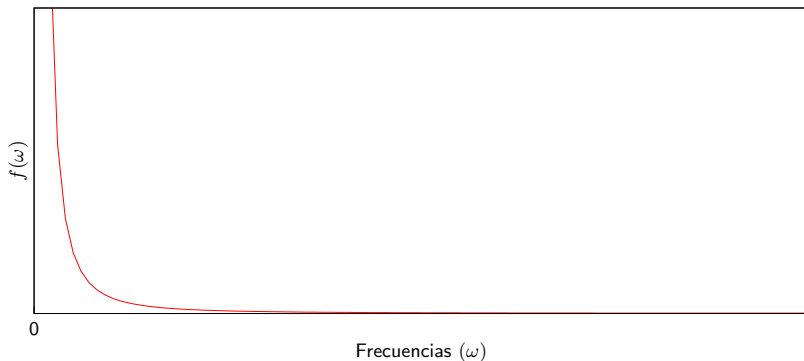
$$T_t = a_{0t} \cos(0 \cdot t) + b_{0t} \sin(0 \cdot t) = a_{0t}; \quad (3)$$

$$(1 - \alpha L)(1 - L)T_t = \xi_{0t-1}.$$

**17** Modelo de la Tendencia

$$T_t = a_{0t} \cos(0 \cdot t) + b_{0t} \sin(0 \cdot t) = a_{0t}; \quad (3)$$

$$(1 - \alpha L)(1 - L)T_t = \xi_{0t-1}.$$

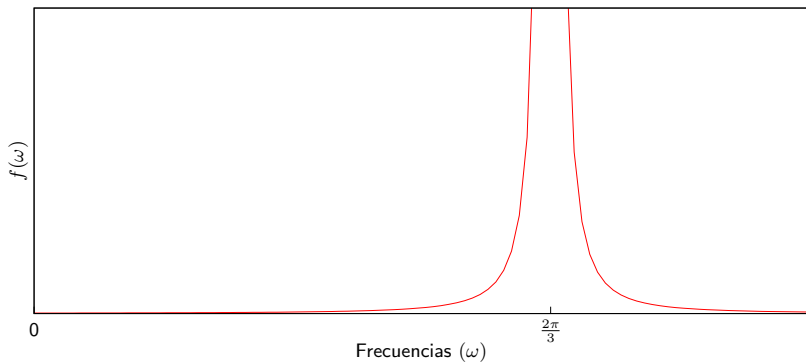


**18** Modelo para cada componente estacional DHR

$$s_t^{pj} = a_{j_t} \cos(\omega_{j_t} t) + b_{j_t} \sin(\omega_{j_t} t) \quad (4)$$

**18** Modelo para cada componente estacional DHR

$$s_t^{pj} = a_{j_t} \cos(\omega_j t) + b_{j_t} \sin(\omega_j t) \quad (4)$$



**19** Modelo DHR completo

$$y_t = \sum_{j=0}^R [a_{jt} \cos(\omega_j t) + b_{jt} \sin(\omega_j t)] + e_t, \quad (5)$$

donde  $j = 0$  corresponde a la tendencia.

## 19 Modelo DHR completo

$$y_t = \sum_{j=0}^R [a_{jt} \cos(\omega_j t) + b_{jt} \sin(\omega_j t)] + e_t, \quad (5)$$

donde  $j = 0$  corresponde a la tendencia.

### Parámetros

- Conocidos:  $\omega_j$

**19** Modelo DHR completo

$$y_t = \sum_{j=0}^R [a_{jt} \cos(\omega_j t) + b_{jt} \sin(\omega_j t)] + e_t, \quad (5)$$

donde  $j = 0$  corresponde a la tendencia.

### Parámetros

- Conocidos:  $\omega_j$
- “Supuestamente conocido”: modelo AR de procesos  $\{a_j\}$  y  $\{b_j\}$

## 19 Modelo DHR completo

$$y_t = \sum_{j=0}^R [a_{jt} \cos(\omega_j t) + b_{jt} \sin(\omega_j t)] + e_t, \quad (5)$$

donde  $j = 0$  corresponde a la tendencia.

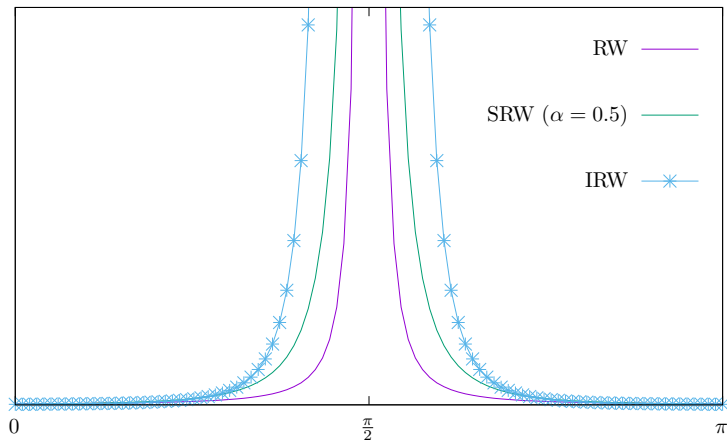
### Parámetros

- Conocidos:  $\omega_j$
- “Supuestamente conocido”: modelo AR de procesos  $\{a_j\}$  y  $\{b_j\}$
- **Desconocidos**: Varianzas innovaciones de los procesos  $\{a_j\}$  y  $\{b_j\}$ .



**20** Espectro de un componente DHR

Distintos modelos de  $\{a_j\}$  y  $\{b_j\}$ ; (misma varianza innovaciones  $\sigma_{\omega_j}^2$ )

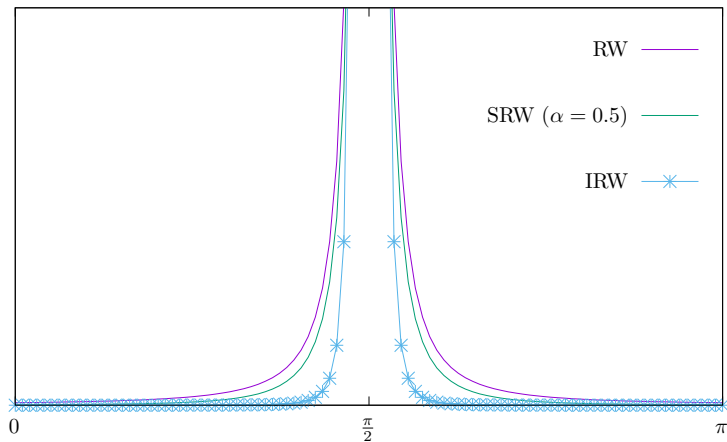


**21** Espectro de un componente DHR

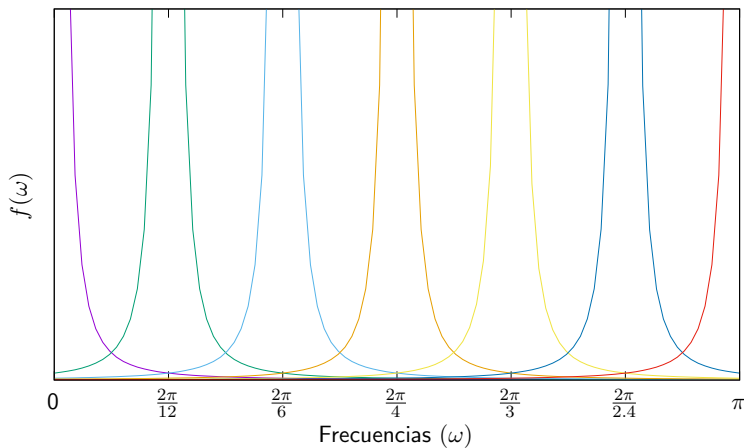
$$\sigma_{RW}^2 = 1$$

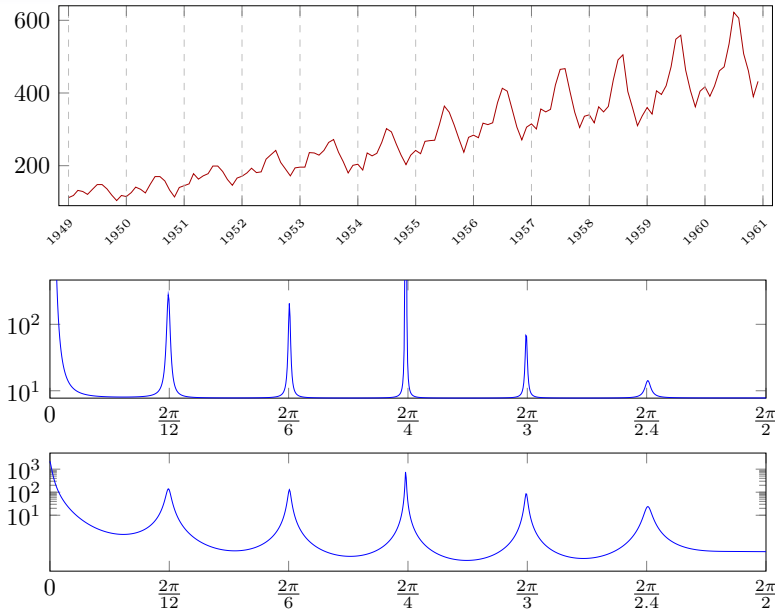
$$\sigma_{SRW}^2 = 0.2$$

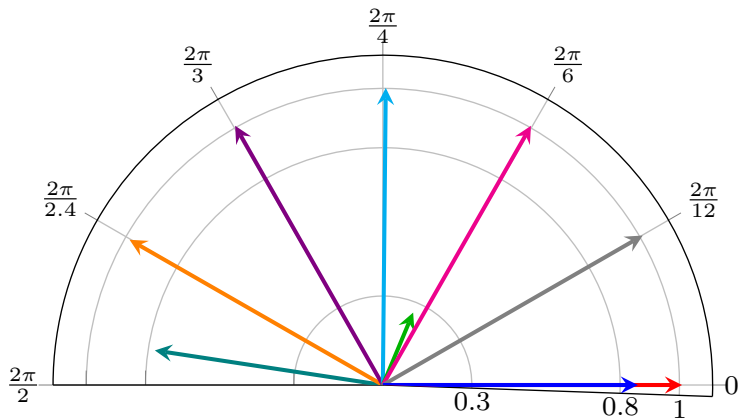
$$\sigma_{IRW}^2 = 0.005$$



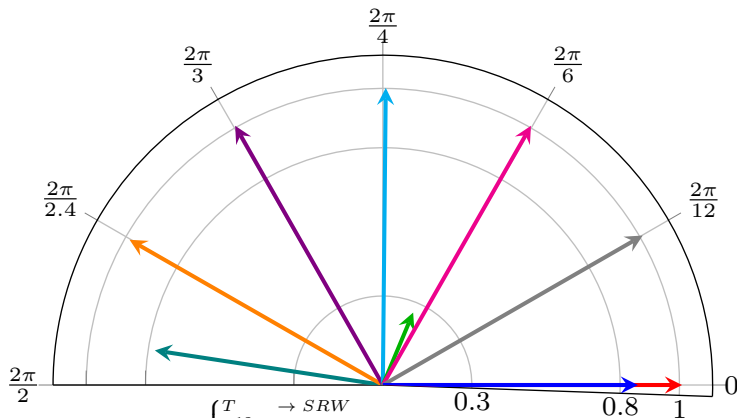
## 22 Espectro de los componentes DHR de un modelo mensual



**23** AR(17) espectro de la serie de Líneas Aéreas

**24** Identificación con las raíces del polinomio AR

## 24

 Identificación con las raíces del polinomio AR


Modelo DHR No estacionario :

$$\begin{cases} T & \rightarrow SRW \\ S^{12} & \rightarrow RW \\ S^6 & \rightarrow RW \\ S^4 & \rightarrow RW \\ S^3 & \rightarrow RW \\ S^{2.4} & \rightarrow RW \end{cases}$$

**25** Estimación de los hiperparámetros  $\sigma^2$ 

$$\min_{[\sigma^2] \in \mathbb{R}^{R+1}} \left\| \widehat{f_y(\omega)} - f_{dhr}(\omega, \sigma^2) \right\|$$

donde

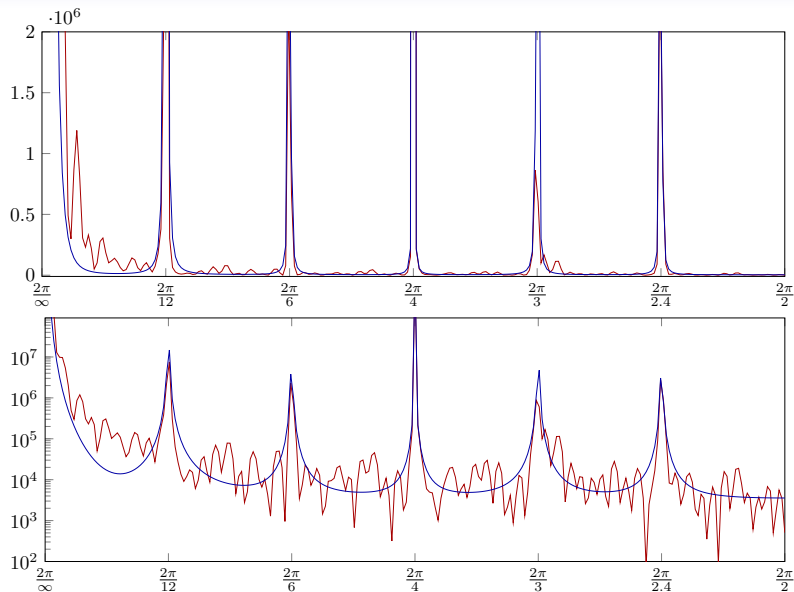
$\widehat{f_y(\omega)}$  es una estimación del espectro de la serie  $y$

donde el espectro del modelo DHR es

$$f_{dhr}(\omega, \sigma^2) = \sum_{j=1}^R \sigma_j^2 \cdot f_{s^{p_j}}(\omega) + \sigma_e^2$$

y donde

- $\sigma^2 = (\sigma_e^2, \sigma_{\omega_0}^2, \sigma_{\omega_1}^2, \dots, \sigma_{\omega_R}^2)$
- $f_{s^{p_j}}(\omega)$  es el espectro del componente  $j$ -ésimo.

**26** Ajuste del modelo DHR al periodograma



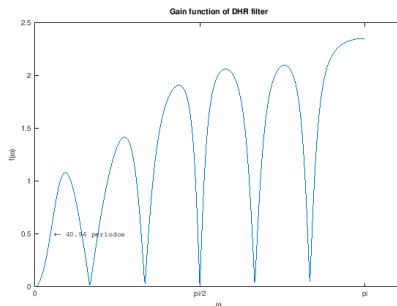
## 27 Verdadero problema de minimización

Modelo DHR tiene una expresión ARIMA equivalente

$$y_t = \frac{\theta(L)}{\phi(L)} \epsilon_t \quad \text{donde} \quad \phi(L) = \varphi(L) * \Phi(L)$$

donde  $\Phi(L)$  es el polinomio con las raíces de módulo uno.

Sea  $\Psi(\omega)$  la Transformada de Fourier de  $\Phi(L)$

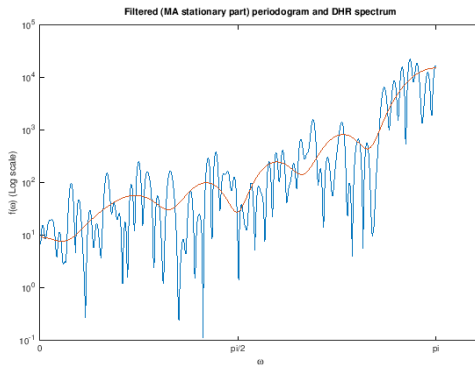


## 28

 Verdadero problema de minimización

Estimación por MCO

$$\min_{\sigma^2 \in \mathbb{R}^{R+2}} \left\| \Psi(\omega) \cdot \left[ \widehat{f_y(\omega)} - f_{dhr}(\omega, \sigma^2) \right] \right\|$$

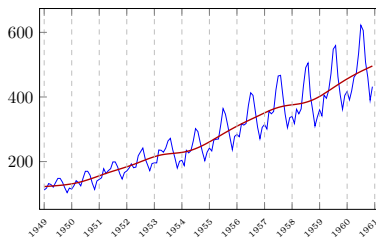
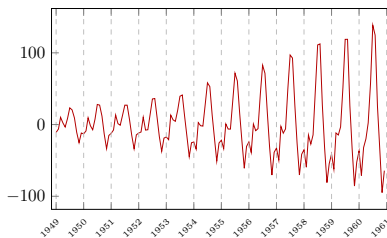
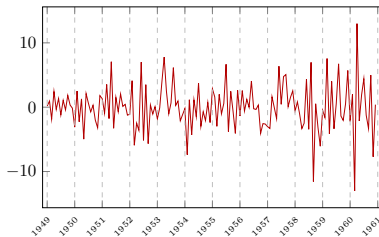
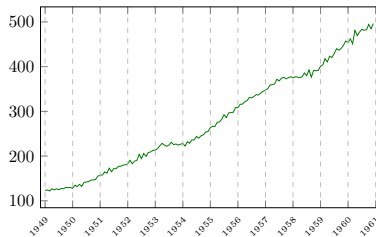


**29**Estimación de los componentes  $s_t^{p_j}$ 

Una vez estimadas las varianzas desconocidas (*hiper-parámetros*)

- Formulación del modelo en Espacio de los Estados
- Filtro de Kalman (suavizado de intervalo fijo)

## 30 Componentes DHR estimados

Tendencia ( $T$ )Componente estacional ( $S$ )Componente irregular ( $I$ )Serie desestacionalizada ( $T + I$ )

## 31 Componentes estimados: Serie de líneas aéreas

Primera diferencia de la tendencia

